



# БИООРГАНИЧЕСКАЯ ХИМИЯ

том 14 \* № 9 \* 1988

УДК 577.114.5.088:579.841.14

## АНТИГЕННЫЕ ПОЛИСАХАРИДЫ БАКТЕРИЙ 32\*. СТРУКТУРА О-СПЕЦИФИЧЕСКИХ ПОЛИСАХАРИДНЫХ ЦЕПЕЙ ЛИПОПОЛИСАХАРИДОВ *Pseudomonas aeruginosa* СЕРОТИПОВ В И Е, СОДЕРЖАЩИХ D-ФУКОЗУ

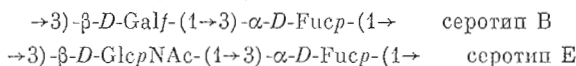
Книроль Ю. А., Шашков А. С., Солдаткина М. А.\*,  
Парамонов Н. А., Захарова И. Я.\*

Институт органической химии им. И. Д. Зелинского

Академии наук СССР, Москва;

\* Институт микробиологии и вирусологии им. Д. К. Заболотного  
Академии наук УССР, Киев

На основании данных кислотного гидролиза, метилирования, анализа методами  $^1\text{H}$ - и  $^{13}\text{C}$ -ЯМР-спектроскопии и расчета удельного оптического вращения установлены следующие структуры дисахаридных повторяющихся звеньев О-специфических полисахаридов *Pseudomonas aeruginosa* серотипов В и Е:



Отличительной особенностью этих полисахаридов является присутствие относительно редко встречающегося в бактериальных антигепах моносахарида — D-фукозы.

В 80-е годы, после того как была показана роль *Pseudomonas aeruginosa* как потенциально летального патогена для больных с ослабленной иммунной защитой, появился ряд работ [2–4], посвященных серотипированию штаммов этого вида, имеющих клиническое происхождение, на основе специфичности О-антител. Проводимое нами иммунохимическое исследование О-антител *P. aeruginosa* ставит своей основной целью создание молекулярных основ серотипирования, а также выявление филогенетического родства этого вида с другими микроорганизмами [5]. Настоящая работа посвящена установлению структуры О-специфических полисахаридных цепей липополисахаридов *P. aeruginosa* штаммов ИМВ 4208 (=Gifu 644=ATCC 17774) и ИМВ 4211 (=Gifu 2323), представляющих серотипы В и Е соответственно в схеме серотипирования [4].

Липополисахариды были выделены из бактериальных клеток экстракцией водным фенолом, нуклеиновые кислоты были отделены осаждением цетавлоном [6]. Липополисахариды обладали специфической активностью в серологических тестах с гомологичными О-антисыворотками (титры О-антител в реакции кольцепреципитации 1 : 500 000 и 1 : 1 000 000, в реакции пассивной гемагглютинации 1 : 256 и 1 : 1024 для липополисахаридов серотипов В и Е соответственно). О-Специфические полисахариды, полученные путем расщепления липополисахаридов разбавленной уксусной кислотой, были аналогичны исходным полимерам по серологической специфичности и активности.

## УСТАНОВЛЕНИЕ СТРОЕНИЯ ПОЛИСАХАРИДА СЕРОТИПА В

Кислотный гидролиз полисахарида привел к фукозе и галактозе (примерно в равных количествах), которые были идентифицированы в виде полных ацетатов полиолов методом ГЖХ.

$^1\text{H}$ - и  $^{13}\text{C}$ -ЯМР-спектры (рис. 1) полисахарида показывали, что он является регулярным и построен из дисахаридных повторяющихся звеньев (в спектрах присутствовали сигналы двух аномерных протонов при 5,00

\* Сообщение 31 см. [1].

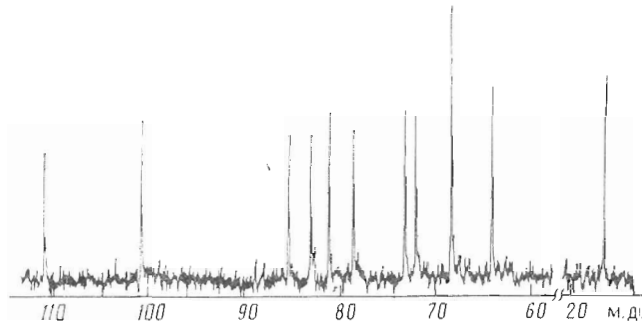


Рис. 1.  $^{13}\text{C}$ -ЯМР-спектр О-специфического полисахарида *P. serotina* B

и 5,22 м.д. и двух аномерных атомов углерода при 100,7 и 110,9 м.д.). Одним из моносахаридных компонентов является фукоза (имелся сигнал метильной группы,  $\delta_1$  1,22;  $\delta_5$  16,6 м.д.), а вторым — галактоза (присутствовал сигнал гидроксиметильной группы,  $\delta_5$  64,1 м.д.), что согласуется с данными кислотного гидролиза. Положение сигнала Сб остатка галактозы при 64,1 м.д. указывало на его фуранозную форму; химический сдвиг 110,9 м.д. сигнала С1 подтверждал этот вывод и показывал, что фуранозный остаток имеет  $\beta$ -конфигурацию [7]. Из положения сигналов С1 и Сб остатка фукозы следовало, что он находится в пиранозной форме.

$^1\text{H}$ -ЯМР-спектр полисахарида был полностью расшифрован с помощью селективного гомоядерного двойного резонанса (табл. 1). Определенные из спектра константы взаимодействия  $J_{1,2} < 1$ ,  $J_{2,3} 3,0$ ,  $J_{3,4} 6,0$  и  $J_{4,5} 4,1$  Гц подтверждали фуранозную форму и  $\beta$ -конфигурацию остатка галактозы, а константы взаимодействия  $J_{1,2} 3,5$ ,  $J_{2,3} 9,5$ ,  $J_{3,4} \sim 3$  и  $J_{4,5} < 1$  Гц подтверждали пиранозную форму остатка фукозы и свидетельствовали о его  $\alpha$ -конфигурации [8, 9].

Предоблучение Н1 остатка фукозы при 5,00 м.д. вызывало ядерный эффект Оверхаузера на протоне Н3 остатка галактозы, резонирующим при 4,05 м.д., что доказывало замещение этого остатка в положение 3 [10]. Предоблучение Н1 остатка галактозы при 5,22 м.д. вызывало ядерный эффект Оверхаузера на протоне Н3 и/или Н4 остатка фукозы, резонирующем вблизи 3,95 м.д., однако сделать выбор между этими протонами, что дало бы возможность определить тип замещения остатка фукозы, было затруднительным из-за близости положения их сигналов (при 3,94 и 3,95 м.д. соответственно).

Анализ полисахарида методом метилирования привел к идентификации 2,4-ди-О-метилфукозы и 2,5,6-три-О-метилгалактозы, что согласуется

Таблица 1

Данные  $^1\text{H}$ -ЯМР-спектра полисахарида серотина В

Звено	Протон	Химический сдвиг, м.д.	Наблюдаемая мультиплетность *	Константа взаимодействия, Гц
$-3\text{Fuc}\alpha$	H1	5,00	д	$J_{1,2} 3,5$
	H2	3,89	дд	$J_{2,3} 9,5$
	H3	3,94	дд	$J_{3,4} \sim 3$
	H4	3,95	д	$J_{4,5} < 1$
	H5	4,25	к	$J_{5,6} 6,5$
	H6 (3H)	1,22	д	
$-3\text{Gal}\beta$	H1	5,22	ш	$J_{1,2} < 1$
	H2	4,34	дд	$J_{2,3} 3,0$
	H3	4,05	дд	$J_{3,4} 6,0$
	H4	4,25	дд	$J_{4,5} 4,1$
	H5	3,86	дт	$J_{5,6} 4,5$
	H6, H6'	3,65–3,72	м	$J_{5,6'} 6,5$

\* ш — уширенный синглет, д — дублет, т — триплет, к — квартет, м — мультиплет.

Таблица 2

## Расчет удельного оптического вращения полисахарида серотипа В

Соединение	$[\alpha]_D$ , град	$M_T$	$[M]_D$ , град
<i>L</i> -Fuc( $\alpha$ )-OMe [12]	-197	178	-351
<i>D</i> -Gal( $\beta$ )-OMe [13]	-110	194	-213,4
Полисахарид			
расчитано для			
<i>D</i> -Fuc, <i>D</i> -Gal	+44,7	308	+137,6
<i>L</i> -Fuc, <i>L</i> -Gal	-44,7	308	-137,6
<i>L</i> -Fuc, <i>D</i> -Gal	-183,2	308	-564,4
<i>D</i> -Fuc, <i>L</i> -Gal	+183,2	308	+564,4
экспериментальная величина	+41		

Таблица 3

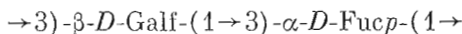
Химические сдвиги в  $^{13}\text{C}$ -ЯМР-спектре полисахарида серотипа В (м. д.)

Звено	C1	C2	C3	C4	C5	C6
-3) Fuc $\alpha$	100,7	68,4	78,6	73,3	68,4	16,6
-3) Gal $\beta$	110,9	81,2	85,3	83,1	72,1	64,1

с данными по ядерным эффектам Оверхаузера и доказывает замещение обоих моносахаридных остатков в положение 3.

Абсолютные конфигурации моносахаридов были определены путем расчета удельного оптического вращения полисахарида по правилу Кляйна [11]. Как видно из табл. 2, расчет приводил к величине, близкой к экспериментальному значению, только в предположении о *D*-конфигурации галактозы и фукозы.

Таким образом, согласно полученным данным, О-специфический полисахарид *P. serascia*, серотип В, имеет структуру



Эта структура подтверждалась результатами расшифровки  $^{13}\text{C}$ -ЯМР-спектра полисахарида (табл. 3), которая была проведена с использованием селективного гетероядерного двойного резонанса  $^{13}\text{C}\{^1\text{H}\}$  и данных по химическим сдвигам для фукопиранозы [7] (табл. 3).

## УСТАНОВЛЕНИЕ СТРОЕНИЯ ПОЛИСАХАРИДА СЕРОТИПА Е

При кислотном гидролизе полисахарида образовались фукоза и глюкозамин, которые были идентифицированы после дезаминирования гидролизата в виде полных ацетатов полиолов методом ГЖХ (глюкозамин при дезаминировании превращается в 2,5-ангидроманнозу [14]); соотношение между компонентами было  $\sim 1 : 1$ .

$^{13}\text{C}$ -ЯМР-спектр полисахарида (рис. 2) содержал сигналы двух апомерных углеродных атомов при 101,4 и 103,8 м.д., метильной группы фукозы при 16,7 м.д., гидроксиметильной группы глюкозамина при 61,5 м.д., атома C2 этого моносахарида при 55,7 м.д., семи остальных углеродных атомов моносахаридных остатков в области 67,9–81,4 м.д., а также N-ацетильной группы ( $\text{CH}_3$  при 23,6 м.д., CO при 176,1 м.д.). Из этих данных следовало, что полисахарид является регулярным и построен из дисахаридных повторяющихся звеньев, содержащих по одному остатку фукозы и N-ацетилглюкозамина.

Для установления строения полисахарида был применен анализ методом  $^{13}\text{C}$ -ЯМР-спектроскопии, основанный на расчете с помощью ЭВМ спектров всех теоретически возможных линейных структур полисахарида данного моносахаридного состава, исходя из химических сдвигов свободных моносахаридов и эффектов гликозилирования, и выборе структуры (или структур), для которой расчетный спектр наиболее близок экспери-

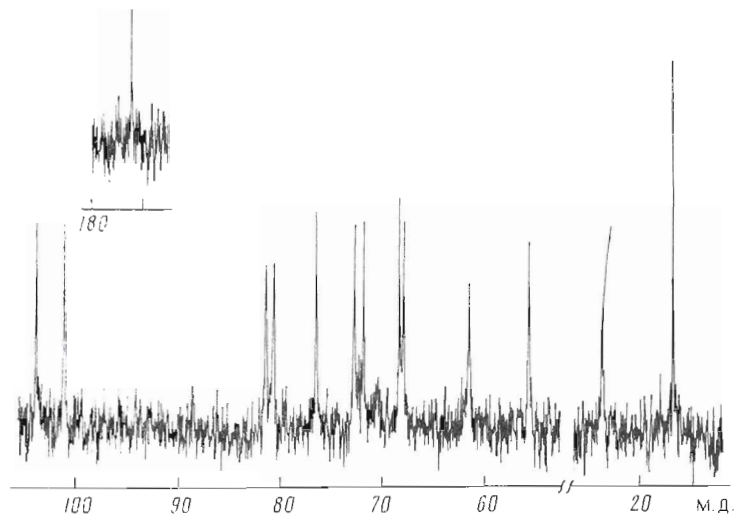
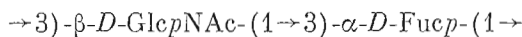


Рис. 2.  $^{13}\text{C}$ -ЯМР-спектр О-специфического полисахарида *P. seracia*, серотип Е

ментальному  $^{13}\text{C}$ -ЯМР-спектру [15, 16]. При расчете использовались химические сдвиги фукозы и N-ацетилглюкозамина, приведенные в работах [7] и [16] соответственно, и эффекты гликозилирования, характерные для галактозы (при расчете спектра остатка фукозы) и для глюкозы (при расчете спектра остатка N-ацетилглюкозамина) [16].

В результате расчета была выявлена единственная линейная структура, приведенная ниже, для которой сумма квадратов отклонений химических сдвигов расчетного и экспериментального спектров была относительно небольшой (1,6 в расчете на один моносахаридный остаток; для всех альтернативных структур эта величина была не менее 3). При расчете учитывалась возможность как *D*-, так и *L*-конфигурации фукозы, а для N-ацетилглюкозамина принималась обычная для этого моносахарида в природных углеводах *D*-конфигурация. Таким образом, расчет показал также, что фукоза имеет *D*-конфигурацию. Рассчитанные для выявленной оптимальной структуры



химические сдвиги, а также сделанное на основании расчета отнесение сигналов в экспериментальном  $^{13}\text{C}$ -ЯМР-спектре полисахарида приведены в табл. 4.

Следует отметить, что величина отклонения 1,6, характеризующая степень схожести рассчитанного и экспериментального  $^{13}\text{C}$ -ЯМР-спектров, для исследуемого полисахарида несколько больше, чем отклонения для проанализированных ранее этим методом полисахаридов, которые обычно не превышали 1,0 [16]. Сравнение рассчитанных и экспериментальных химических сдвигов показывает, что основной вклад в величину отклонения вносит разница, наблюдающаяся для сигналов C3 и C4 остатка N-ацетил-

Таблица 4

Химические сдвиги в  $^{13}\text{C}$ -ЯМР-спектре полисахарида серотипа Е (м. д.) \*

Звено	C1	C2	C3	C4	C5	C6
-3Fucp $\alpha$	101,1 99,9	68,3 68,5	80,7 80,6	72,8 72,7	67,9 67,8	16,7 16,5
-3GlcNAc $\beta$	103,8 104,0	55,7 55,8	81,4 81,9	71,9 71,1	76,5 77,2	61,5 62,1

\* Во второй строке для каждого остатка приведены рассчитанные химические сдвиги.

Таблица 5

## Расчет удельного оптического вращения полисахарида серотина Е

Соединение	$[\alpha]_D$ , град	$M_T$	$[M]_D$ , град
<i>L</i> -Fuc ( $\alpha$ )-OMe [12]	-197	178	-351
<i>D</i> -GlcNAc ( $\beta$ )-OMe [17]	-43	235	-101
Полисахарид			
рассчитано для			
<i>D</i> -Fuc, <i>D</i> -GlcNAc	+72	349	+250
<i>L</i> -Fuc, <i>L</i> -GlcNAc	-72	349	-250
<i>D</i> -Fuc, <i>L</i> -GlcNAc	+130	349	+452
<i>L</i> -Fuc, <i>D</i> -GlcNAc	-130	349	-452
экспериментальная величина	+79		

глюказамина (0,5 и 0,8 м.д. соответственно) и C1 остатка фукозы (1,2 м.д.), т. е. для сигналов углеродных атомов, испытывающих эффекты гликозилирования первого остатка вторым. Очевидно, это следствие использования при расчете химических сдвигов остатка N-ацетилглюказамина эффектов гликозилирования, характерных для глюказы, что является недостаточно хорошим приближением. В то же время использование при расчете химических сдвигов остатка фукозы эффектов гликозилирования, характерных для галактозы, привело к удовлетворительным результатам (табл. 4).

Установленная структура полисахарида *P. serascia* серотина Е была подтверждена анализом методом метилирования и расчетом удельного оптического вращения по правилу Кляйна [11]. В результате метилирования были идентифицированы 2,4-ди-О-метилфукоза и 2,4,6-три-N,O-метилглюказамины, что указывало на замещение обоих моносахаридных остатков в положение 3 и тем самым на линейный характер полисахарида. Отсюда также следовало, что остатки фукозы и N-ацетилглюказамина находятся в пиранозной форме. Расчет по правилу Кляйна привел к величине угла вращения, близкой к экспериментальному значению, только в предположении о *D*-конфигурации обоих моносахаридных остатков (табл. 5), что согласуется с выводом, сделанным при компьютерном анализе  $^{13}\text{C}$ -ЯМР-спектра.

Особенностью моносахаридного состава изученных О-антителенных полисахаридов *P. serascia* серотипов В и Е является присутствие в них *D*-фукозы — моносахарида, довольно редко встречающегося в бактериальных полисахаридах. Ранее *D*-фукоза была найдена в О-специфических полисахаридах ряда фитопатогенных бактерий рода *Pseudomonas*, таких, как некоторые патовары *P. syringae* (серогруппы II—VI) и *P. holci* (серогруппа VI) [18, 19]. Кроме присутствия *D*-фукозы О-антителены *P. serascia* и фитопатогенных видов *Pseudomonas* роднит также наличие в них еще одного относительно редко встречающегося моносахарида — *D*-рамнозы [5, 18–22]. Интересно, что *D*-фукоза недавно была обнаружена в О-специфическом полисахариде другого фитопатогенного микроорганизма — *Erwinia amylovora* T. [23].

Авторы благодарят Г. М. Липкинда за проведение компьютерного анализа.

## Экспериментальная часть

$^1\text{H}$ -ЯМР-спектры сняты на приборе WM-250 (Bruker) в  $\text{D}_2\text{O}$  при 60° С с использованием в качестве внутреннего стандарта ацетона ( $\delta$  2,23 м.д.); эксперименты по ядерным эффектам Оверхаузера выполнены как описано [22].  $^{13}\text{C}$ -ЯМР-спектры получены на приборе AM-300 (Bruker) в  $\text{D}_2\text{O}$  при 60° С; внутренний стандарт — метанол ( $\delta$  50,15 м.д.). Оптическое вращение определяли на приборе Jasco DIP-360 в воде при 20° С. ГЖХ и ГЖХ-масс-спектрометрия выполнены как в работе [22]. Гель-фильтрация проведена на колонке (3,7×70 см) с гелем Sephadex G-50 в пиридин-ацетатном буфере, pH 4,5. Серологические тесты проведены как описано ранее [24].

Бактериальные штаммы были любезно предоставлены доктором Шигета (Фукушима, Япония). Выращивание бактериальных культур проводили как в работе [5]. Липополисахариды выделяли по методу [6] и расщепляли как описано в работе [21].

Полисахариды гидролизовали 2 М HCl (100° С, 3 ч), моносахариды превращали в ацетаты полиолов как обычно; дезаминирование проводили как описано [25]. Полисахариды метилировали по методу [26], метилированные полимеры расщепляли как описано ранее, частично метилированные моносахариды идентифицировали методом ГЖХ-масс-спектрометрии в виде ацетатов полиолов с использованием данных [27, 28].

## ЛИТЕРАТУРА

- Книрель Ю. А., Здоровенко Г. М., Веремейченко С. Н., Липкинд Г. М., Шашков А. С., Захарова И. Я. // Биоорганская химия. 1988. Т. 14. № 3. С. 352–358.
- Monteil H., Richard C., Heidt A. // Med. mal. Infect. 1981. V. 11. № 10. P. 544–547.
- Heidt A., Monteil H., Richard C. // J. Clin. Microbiol. 1983. V. 18. № 3. P. 738–740.
- Nakamura Y., Hyodo S., Chonan E., Shigeta S., Yabuuchi E. // J. Clin. Microbiol. 1986. V. 24. № 1. P. 152–154.
- Книрель Ю. А., Танатар Н. В., Солдаткина М. А., Шашков А. С., Захарова И. Я. // Биоорганская химия. 1988. Т. 14. № 1. С. 77–81.
- Вестфаль О., Ини К. // Методы химии углеводов/Ред. Кочетков Н. К. М.: Мир, 1967. С. 325–327.
- Bock K., Pedersen C. // Adv. Carbohydr. Chem. Biochem. 1983. V. 41. P. 27–65.
- Altona C., Haasnoot C. A. G. // Org. magn. Reson. 1980. V. 13. № 6. P. 417–429.
- Cyr N., Perlin A. S. // Can. J. Chem. 1979. V. 57. № 18. P. 2503–2511.
- Keller R. M., Wüthrich K. // Biol. magn. Reson. 1981. V. 3. P. 1–52.
- Klyne W. // Biochem. J. 1950. V. 46. № 4. P. xli–xlii.
- Michell F. Chemie der Zucker und Polysaccharide. Leipzig: Akademische Verlagsgesellschaft Geest und Portig K.-G., 1956. S. 429.
- Austin P. W., Hardy F. E., Buchman J. G., Baddiley J. // J. Chem. Soc. 1963. № 11. P. 5350–5353.
- Williams J. M. // Adv. Carbohydr. Chem. Biochem. 1975. V. 31. P. 9–79.
- Липкинд Г. М., Шашков А. С., Кочетков Н. К. // Биоорганская химия. 1987. Т. 13. № 6. С. 833–842.
- Lipkind G. M., Shashkov A. S., Knirel Y. A., Vinogradov E. V., Kochetkov N. K. // Carbohydr. Res. 1988. V. 175. № 1. P. 59–75.
- Kuhn R., Baer H. // Chem. Ber. 1953. B. 86. № 6. S. 724–730.
- Книрель Ю. А., Здоровенко Г. М., Шашков А. С., Мамянова С. С., Яковлева Л. М., Соляник Л. П., Захарова И. Я. // Биоорганская химия. 1986. Т. 14. № 1. С. 82–91.
- Книрель Ю. А., Здоровенко Г. М., Шашков А. С., Губанова Н. Я., Яковлева Л. М., Гвоздяк Р. И. // Биоорганская химия. 1988. Т. 14. № 1. С. 92–99.
- Smith A. R. W., Zamze S. E., Munro S. M., Carter K. J., Hignett R. C. // Eur. J. Biochem. 1985. V. 149. № 1. P. 73–78.
- Книрель Ю. А., Шашков А. С., Дмитриев Б. А., Кочетков Н. К., Касянчук Н. В., Захарова И. Я. // Биоорганская химия. 1980. Т. 6. № 12. С. 1851–1859.
- Книрель Ю. А., Здоровенко Г. М., Даушнин В. М., Яковлева Л. М., Шашков А. С., Захарова И. Я., Гвоздяк Р. И., Кочетков Н. К. // Биоорганская химия. 1986. Т. 12. № 9. С. 1253–1262.
- Ray T. C., Smith A. R. W., Wait B., Hignett R. C. // Eur. J. Biochem. 1987. V. 170. № 1/2. P. 357–361.
- Книрель Ю. А., Танатар Н. В., Захарова И. Я., Кочетков Н. К. // Биоорганская химия. 1985. Т. 11. № 4. С. 536–538.
- Дмитриев Б. А., Бакиновский Л. В., Книрель Ю. А., Львов В. Л., Кочетков Н. К. // Изв. АН СССР. Сер. хим. 1974. № 10. С. 2335–2338.
- Конрад Г. Е. // Методы исследования углеводов/Ред. Хорлин А. Я. М.: Мир, 1975. С. 276–278.
- Jansson P.-E., Kenne L., Liedgren H., Lindberg B., Lönnqvist J. // Chem. Commun. Stockholm Univ. 1976. № 8. P. 1–75.
- Stellner K., Saito H., Hakomori S. // Arch. Biochem. and Biophys. 1973. V. 155. № 2.

Поступила в редакцию 14.IV.1988.

## ANTIGENIC POLYSACCHARIDES OF BACTERIA. 32. STRUCTURE

### OF O-SPECIFIC POLYSACCHARIDE CHAINS

#### OF LIPOPOLYSACCHARIDES FROM *Pseudomonas cepacia*

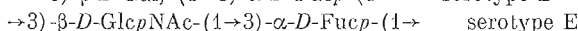
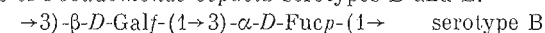
#### SEROTYPES B AND E CONTAINING D-FUCOSE

KNIREL Yu. A., SHASHKOV A. S., SOLDATKINA M. A. \*, PARAMONOV N. A., ZAKHAROVA I. Ya. \*

*N. D. Zelinsky Institute of Organic Chemistry, Academy of Sciences  
of the USSR, Moscow;*

\* *D. K. Zabolotny Institute of Microbiology and Virology, Academy  
of Sciences of the Ukrainian SSR, Kiev*

On the basis of acid hydrolysis, methylation, <sup>1</sup>H and <sup>13</sup>C NMR analysis, and calculation of specific optical rotation, the following structures were established for O-specific polysaccharides of *Pseudomonas cepacia* serotypes B and E:



A characteristic feature of the polysaccharides is the presence of D-fucose, rather rare for bacterial antigens.